

## Polyester의 개질에 관한 연구 V. Poly(ethylene glycol) Unit로 개질된 Poly(ethylene terephthalate)의 결정화 거동

안 태 완 · 김 오 영 · 정 한 모\*

서울대학교 공과대학 공업화학과 · \*울산대학교 자연과학대학 화학과  
(1987년 5월 20일 접수)

## Copolyester Studies V. Crystallization Behaviours of Poly(ethylene terephthalate) Modified by Poly(ethylene glycol) Unit

**Tae Oan Ahn, Oh Young Kim, and Han Mo Jeong\***

*Dept. of Chemical Technology, Seoul National University, Seoul 151, Korea*

*\*Dept. of Chemistry, University of Ulsan, Ulsan 690, Korea*

(Received May 20, 1987)

**요 약 :** PEG-300을 제3의 단량체로 PET를 개질한 copolyester를 비등온 결정화 시킨 경우 PEG-300의 함량이 증가함에 따라  $T_{cc}$ ,  $T_{mc}$ 가 크게 감소하였으며, 일정온도에서 등온결정화 시킨 경우 PEG-300의 함량이 증가함에 따라 결정화 속도는 크게 지연되었으나, 동일 과냉각 상태에서의 결정화속도는 PEG-300의 함량에 따라 증가하였다. 이러한 변화는 PEG-300이 쇄의 유연성을 증가시켜 copolyester의 결정화속도를 증가시키는 효과와 결정할 수 없는 타성분으로 작용하여 copolyester의 결정화 속도를 지연시키는 효과가 함께 나타남에 기인하는 것으로 생각된다. 또 동일한 과냉각 상태에서 Avrami index는 PEG-300의 함량에 따라 거의 변화하지 않았는데 이는 copolyester의 결정화기구가 PEG-300의 함량에 무관하게 거의 동일함을 보여준다.

**Abstract :** The crystallization behaviours of poly(ethylene terephthalate) modified by poly(ethylene glycol) of molecular weight 300(PEG-300) were studied by isothermal and nonisothermal crystallization. When crystallized nonisothermally, the cold crystallization and the melt crystallization temperature were much decreased with the content of PEG-300. In isothermal crystallization, the crystallization rate at a definite temperature was much decreased with the content of PEG-300, but at the same supercooling the rate was increased by the added PEG-300 at the content less than 10 mol % and decreased again at the content more than 10 mol %. The Avrami indices at the same supercooling were almost the same and independent of the content of PEG-300, which shows the crystallization mechanism of copolymers is almost the same.

## 서 론

Poly(ethylene glycol)(PEG)을 제3의 성분으로 사용하여 poly(ethylene terephthalate)(PET)의 물성을 개질하는 경우 염색성, 제전성, 섬유의 신축성 등에 다양한 변화가 수반되므로 PEG를 사용한 PET의 개질에 관한 많은 연구 결과가 보고되고 있으며,<sup>1,2</sup> 전번 논문<sup>3</sup>에서 분자량이 400인 poly(ethylene glycol)(PEG-400)을 사용하여 PET를 개질한 경우 PET의 구조와 열적 성질과의 관계에 대해 상세히 보고한 바 있다. PET는 대부분 용융 가공하여 사용하기 때문에 용융 후 가공시 결정화 속도가 가공제품의 물성에 큰 영향을 미치므로 PET의 결정화동역학에 관한 연구는 기핵제의 영향,<sup>4</sup> 분자량 변화에 의한 영향,<sup>5</sup> 제3의 단량체에 의해 개질된 copolyester에서 고분자구조의 변화에 의한 영향<sup>6</sup> 등 여러 관점에서 많은 연구 결과가 보고 되고 있다.

고분자 쇄에 제3의 단량체가 도입되거나 입체규칙성이 비규칙성이 도입된 경우 고분자 쇄의 결정화거동은 비규칙성의 정도에 따라 큰 차이를 갖는데,<sup>6,7</sup> PEG unit에 의해 개질된 copolyester의 결정화거동에 관한 연구는 diethylene glycol(DEG) unit를 갖는 copolyester에 관해서는 비교적 상세히 보고되어 있으나<sup>8,9</sup> 분자량이 큰 PEG unit에 관한 연구 보고는 아직 없다. 본 논문에서는 분자량이 300으로 비교적 큰 poly(ethylene glycol) (PEG-300)을 제3의 단량체로 사용하여 개질한 PET(PET / (PEG-300)T)에서 PEG-300 unit의 함량에 따른 copolyester의 결정화거동을 DSC를 사용하여 비등온 결정화, 등온 결정화 시켜 조사 하였다.

## 실 험

### Copolyester의 합성 및 분석

Dimethyl terephthalate(DMT)는 메탄올에 재결정하여 사용하였으며, 에틸렌글리콜(EG)은 황

산나트륨으로 수분을 제거한 후 진공 증류하여 사용하였고, 촉매 및 용매는 일급시약을 그대로 사용하였다. 분자량이 300인 poly(ethylene glycol) (PEG-300)은 일본 Hayashi Pure Chemical 사의 일급시약을 40°C, 진공에서 12시간 건조하여 사용하였으며, 공중합반응은 전번 논문에서와 동일한 방법으로 하였다.<sup>3</sup>

합성된 copolyester의 점성도는 용매로서 폐놀과 1,1,2,2-tetrachloroethane을 6:4의 무게비로 혼합한 용액을 사용하여 농도 0.4g/dl인 시료를 제조하여 30±0.5°C·조건에서 오스트발트 점성도계를 사용하여 환원점성도를 측정하였다. 합성된 copolyester 중 PEG-300 unit의 함량은 핵자기공명분석을 이용하여 전번 논문<sup>10</sup>과 동일한 방법으로 확인하였고, 이때 copolyester 시료는 trifluoroacetic acid에 0.1g/ml 농도로 녹여 사용하였으며 기기는 일본 Jeol 사의 JNM-MH-100 NMR Spectrometer를 사용하였다. 이상의 합성 및 분석 결과는 Table 1에 나타내었다.

### 열적 성질

Copolyester의 열적성질은 Perkin Elmer 사의 DSC-4를 사용하여 시료 5.0±0.1mg을 알루미늄 팬에 넣고 질소 기류 하에서 측정하였다. 각 시료는 녹는점( $T_m$ )보다 20°C 높은 온도에서 5분간 용융시킨 후 액체질소 속에서 금냉시켜 비결정성 시료를 만든 후 10°C/min 속도로 승온시키면서 유리전이온도( $T_g$ ), 저온결정화온도( $T_{cc}$ ), 녹는점( $T_m$ )을 측정하였으며, 강온 결정화온도( $T_{mc}$ )는

**Table 1. PET / (PEG-300)T Copolymers**

Sample	Diol Feed		Polymer Composition		Reduced Viscosity sp/c (dl/g)
	EG (mol %)	PEG 300 (mol %)	EG Unit (mol %)	PEG 300 Unit (mol %)	
P-1	100.0	0.0	100.0	0.0	0.66
P-2	98.0	2.0	98.2	1.8	0.65
P-3	95.0	5.0	96.0	4.0	0.73
P-4	93.0	7.0	94.3	5.7	0.68
P-5	87.0	13.0	89.5	10.5	0.65

각 시료의  $T_m$  보다  $20^\circ\text{C}$  높은 온도에서 5분간 녹인 후  $10^\circ\text{C}/\text{min}$  속도로 강온시키면서 구하였다. 이때  $T_g$ 는 승온시 열용량변화의 중간지점을,  $T_{cc}$ 는 승온시 발열 피크의 최소점을,  $T_m$ 은 승온시 흡열피크의 최대점을, 그리고  $T_{mc}$ 는 강온시 발열피크의 최소점으로 하였다.<sup>3</sup> 한편 등온 결정화는 각 시료의  $T_m$ 보다  $20^\circ\text{C}$  높은 온도에서 5분간 용융시킨 후 결정화온도까지 급냉시킨 후 일정 온도를 유지하면서 발생하는 결정화열을 측정하여 시간에 따른 결정화 정도의 변화를 관찰 하였다.<sup>11</sup> 이때  $t$ 시간까지의 결정화 분율  $X_t$ 는 등온결정화 중 발생하는 열량( $dH/dt$ )으로부터 다음식(1)과 같이 나타낼 수 있으며 결정 가능한 부분 중  $1/2$ 이 결정화 하는데 필요한 시간  $t_{1/2}$ 은  $X_t$ 가  $1/2$ 에 되는 시간으로 하였다.

$$X_t = \int_0^t (dH/dt)/dt \int_0^\infty (dH/dt) dt \quad (1)$$

식(1)에서 분자는  $t$ 시간까지 결정화하면서 발생한 열량이고 분모는 무한대 시간까지 결정화하면서 발생한 전체 열량이다.

## 결과 및 고찰

### 비등온 결정화

비결정성 copolyester 시료를  $10^\circ\text{C}/\text{min}$  속도로 승온시킬 때 일어나는 열적 변화, 즉  $T_g$ ,  $T_{cc}$ ,  $T_m$ 들을 Table 2에 나타내었는데, 여기서 보면  $T_{cc}$ 는 PEG-300 unit의 함량이 증가함에 따라 감소함을 볼 수 있으며 이러한 변화는 결정화동역학 이론으로부터 다음과 같이 설명할 수 있다. 결정의 성장속도  $G$ 는 고분자 결정화에 관한 동역학 이론으로부터 다음 식(2)와 같이 나타낼 수 있다.<sup>12,13</sup>

$$G = G_0 \exp\left(-\frac{\Delta F^*}{RT_c}\right) \exp\left(-\frac{\Delta \phi^*}{RT_c}\right) \quad (2)$$

여기서  $\Delta F^*$ 은 고분자 쇄가 성장하고 있는 결정 표면으로 확산 이동하는데 필요한 활성화에너지

이고,  $\Delta \phi^*$ 은 임계크기의 결정핵이 형성되는데 소요되는 활성화에너지이고,  $T_c$ 는 결정화온도이다. 또  $R$ 은 기체상수,  $G_0$ 는 고분자의 종류에 의해 결정되는 온도와 무관한 상수이다. 이중  $\Delta F^*$ 은 WLF time-temperature superposition principle로부터 다음 식(3)으로 표현할 수 있고,<sup>14</sup>

$$\Delta F^* = \frac{4120T_c}{51.6 + T_c - T_g} \quad (3)$$

$\Delta \phi^*$ 은 다음 식(4)로 표현할 수 있다.<sup>15</sup>

$$\Delta \phi^* = \frac{4b_0 \sigma_n \sigma_e T_m}{\Delta H(T_m - T_c)} \quad (4)$$

여기서  $\sigma_n$ 과  $\sigma_e$ 는 각각 쇄와 평행, 수직 방향의 결정표면의 단위 면적 당 자유에너지이고,  $b_0$ 는 두 fold plane 사이의 거리이며,  $\Delta H$ 는 결정성분의 단위 부피 당 녹음열이다.

식(2), (3), (4)로부터  $T_g$ 부근에서 결정화하는 경우는  $T_m - T_c$ 가 크므로, 즉 파냉각 정도가 크므로  $\Delta \phi^*$ 은 결정화속도에 그다지 큰 인자가 되지 못하는 반면  $T_c - T_g$ 가 작으므로  $\Delta F^*$ 가 결정화속도에 큰 인자가 됨을 알 수 있다. 따라서 Table 2에서 PEG-300 unit의 함량이 증가함에 따라  $T_{cc}$ 가 감소하는 것은  $T_{cc}$ 가 감소하더라도 해당 copolyester의  $T_g$ 값이 작으므로  $\Delta F^*$ 가 그다지 증가하지 않음에 기인함을 알 수 있다.  $T_g$ 부근에서 결정화하는 경우 결정화속도에 미치는  $\Delta F^*$ 의 영향을 최소로 하고 고분자 쇄의 구조 변화에 따른 영향만을 보기 위하여  $T_{cc} - T_g$  값을 계

Table 2. Thermal Properties of Copolymers

Sample	Transition Temperature(°C)					
	$T_g$	$T_{cc}$	$T_{cc} - T_g$	$T_m$	$T_{mc}$	$T_m - T_{mc}$
P-1	81	146	65	258	210	48
P-2	72	136	64	253	205	48
P-3	61	126	65	246	201	45
P-4	55	123	68	241	198	43
P-5	32	108	76	230	183	47

산한 결과(Table 2), 그 값이 PEG-300 unit의 함량이 증가함에 따라 조금 감소하였다가 증가하는 경향을 보이고 있는데 이러한 변화는 소량의 PEG-300 이 가해진 경우는 쇄의 유연성이 증가하여 결정 표면으로 확산 이동한 고분자 쇄가 결정형태로의 재배열이 용이해져  $G_0$ 가 증가하는데 반해, 다량의 PEG-300 이 가해진 경우는 결정에 참여할 수 없는 타성분의 함량이 증가함에 따라 결정형태로의 재배치가 어려워져  $G_0$ 가 감소한 결과로 생각 된다. 이러한  $T_{cc}$ - $T_g$  값이 쇄의 유연성이 큰 제3의 성분의 함량이 증가함에 따라 감소하였다 증가하는 현상은 전번 논문<sup>16</sup>에서 1,3-프로판디올을 제3의 단량체로 사용한 경우에서도 뚜렷하게 관찰 할 수 있었다.

한편 녹는점 이상에서 충분히 용융시킨 copolyester를 강온 시킬때 결정화가 일어나는 강온결정화온도,  $T_{mc}$ 의 변화를 Table 2에 나타내었는데, PEG-300의 함량이 증가함에 따라 크게 감소함을 볼 수 있다. 이는 식(4)에서 보는 바와 같이  $T_m$ 부근에서 결정화하는 경우는  $\Delta\phi^*$ 가 결정화속도에 큰 영향을 미치며,  $T_m$ - $T_c$  값이 작아지면  $\Delta\phi^*$ 가 커지므로 해당 copolyester의  $T_m$ 이 감소하는 경우 충분한 결정화속도를 갖기 위해서는  $T_{mc}$ 가 감소하여야 함을 알 수 있다.

$T_m$  부근에서 결정화하는 경우 결정화 속도에 미치는  $\Delta\phi^*$ 의 영향을 최소로 하고 고분자 쇄의 구조변화에 의한  $G_0$ 의 변화 및  $\Delta F^*$ 의 변화에 따른 영향을 보기 위해  $T_m$ - $T_{mc}$ 값을 Table 2에 나타내었는데 그 값이 PEG-300 unit의 함량이 증가함에 따라 감소했다가 증가함을 볼 수 있다. 소량의 PEG-300 이 가해진 경우  $T_m$ - $T_{mc}$ 가 감소하는 것은  $T_g$ 의 감소로  $\Delta F^*$ 가 감소한 효과와 쇄의 유연성이 증가하여 결정표면으로 확산 이동한 고분자 쇄가 결정 형태로의 재배열이 용이해져  $G_0$ 가 증가한 효과가 함께 나타난 결과로 생각되며, 다량의 PEG-300이 가해진 경우  $T_m$ - $T_{mc}$ 가 다시 증가하는 것은 결정에 참여할 수 없는 타성분의 함량이 증가하여 결정형태로의 재배

치가 어려워져  $G_0$ 가 감소한 결과로 생각 된다. PEG-300 unit의 함량 변화에 따른  $T_m$ - $T_{mc}$ 값의 이러한 변화양상은 DEG를 제3의 단량체로 사용한 경우에서도 관찰 보고 되었다<sup>8</sup>.

이상의 비등온결정화에서 얻은 결과에서 PET / (PEG-300)T 가 일정 온도에서 결정화 하는 경우 PEG-300 unit의 함량이 증가함에 따라  $\Delta F^*$ 는 감소되고,  $\Delta\phi^*$ 는 증가되며,  $G_0$ 는 소량 가해진 경우는 증가하나 다량 가해진 경우는 오히려 감소됨을 알 수 있다.

#### Crystallization Half Time( $t_{1/2}$ )

일정 온도를 유지시키며 등온결정화 시킨 경우 결정 가능한 부분 중 1/2이 결정화 하는데 필요한 시간,  $t_{1/2}$ 의 변화를 Fig.1에 나타내었는데  $T_c$ 와 PEG-300의 함량에 증가함에 따라  $t_{1/2}$ 이 크게 증가하고 있음을 볼 수 있다. 이러한 현상은  $T_m$ 부근에서 결정화 할 경우  $\Delta\phi^*$ 의 변화가 전체 결정화 속도에 큰 영향을 미치며 식(4)에서  $T_c$ 가 증

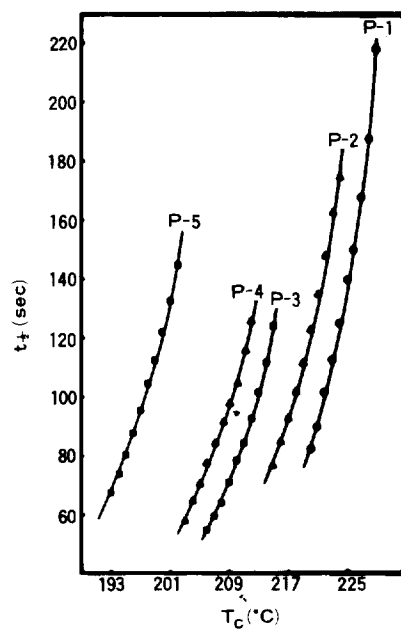


Fig. 1. Crystallization half time versus crystallization temperature in isothermal crystallization of PET / (PEG-300)T.

가하는 경우  $T_m - T_c$ 가 감소하여  $\Delta\varphi^*$ 가 증가하므로 기핵형성이 어려워 결정화가 크게 지연됨에 의한 것임을 알 수 있다.

한편 Fig. 2에는  $\Delta\varphi^*$ 값이 거의 같은 동일한 과정과 상태에서의 copolyester의 결정화 속도를 비교해 보기 위하여 각 copolyester의  $t_{1/2}$  값을  $T_m - T_c$  값에 대해 도시 하였는데, 이 경우 PEG-300 unit의 함량이 증가함에 따라  $t_{1/2}$ 이 감소하다가 과량의 PEG-300이 도입된 경우  $t_{1/2}$ 이 다시 증가하는 양상을 보이고 있다. 이러한 경향은 앞의 비등온 결정화에서  $T_m - T_{mc}$  값의 변화양상과 동일하며 소량의 PEG-300이 도입된 경우는  $T_g$ 의 감소로  $\Delta F^*$ 가 감소한 효과와 쇄의 유연성이 증가하여 결정표면으로 확산 이동한 고분자 쇄가 결정형태로 재배치하기가 용이해진 효과, 즉  $G_o$ 가 증가한 효과로 생각되며, 과량의 PEG-300

이 도입된 경우는 결정화 할 수 없는 쇄의 부분이 늘어남에 따라 결정형태로의 재배치가 어려워진 효과, 즉  $G_o$ 가 감소한 효과에 기인하는 것으로 생각된다.

#### 결정화 동역학

앞에서 관찰한 PEG-300 unit의 함량 및  $T_c$ 의 변화에 따른  $t_{1/2}$ 의 변화를 Avrami equation[식 (5)]를 이용하여 해석 하였다.<sup>17</sup>

$$\log[-\ln(1-X_t)] = \log k_n + n \log t \quad (5)$$

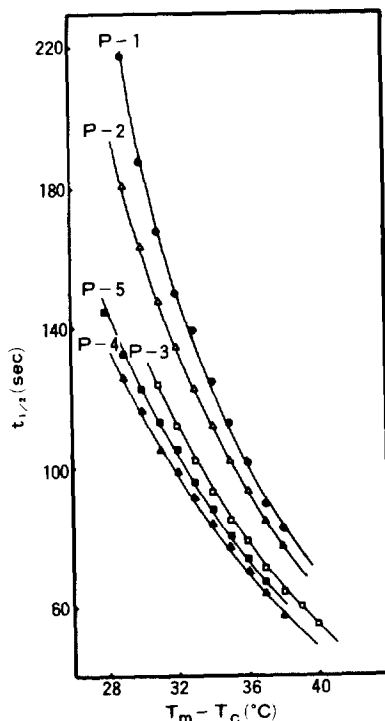


Fig. 2. Crystallization half time versus degree of supercooling in isothermal crystallization of PET / (PEG-300)T.

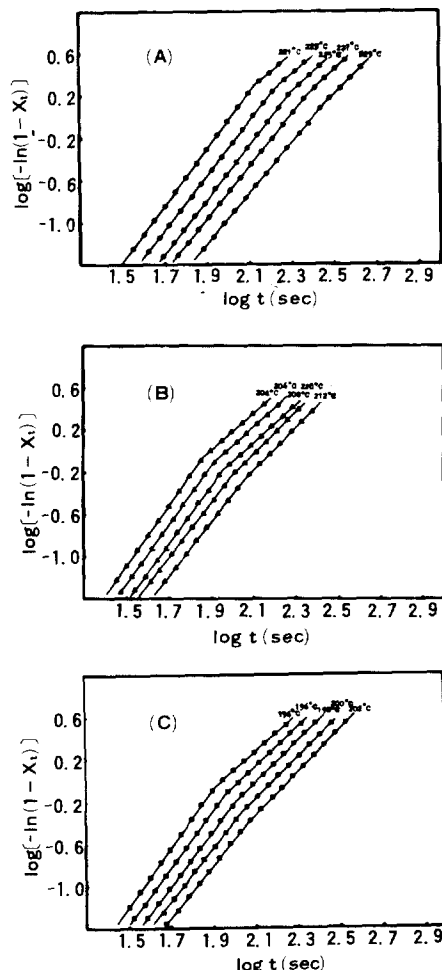


Fig. 3. Avrami plots of PET / (PEG-300)T containing (A) 0 mol %, (B) 5.7 mol %, and (C) 10.5 mol % PEG-300.

여기서  $n$ 은 Avrami index,  $k_n$ 은 전체 속도상수 (overall kinetic rate constant),  $X_t$ 는  $t$ 시간에서의 결정화 분율이다.

Copolyester를 등온 결정화시켜  $\log[-\ln(1-X_t)]$  값을  $\log t$  값에 대해 도시하여 Fig. 3에 나타내었는데 초기의 primary crystallization과 후반부의 secondary crystallization이 구분되는 좋은 직선성을 볼 수 있으며  $T_c$ 가 증가함에 따라 primary crystallization의 기울기( $n$ )는 감소하는데 반해 secondary crystallization의 기울기( $n'$ )는 증가하는 양상을 볼 수 있다. 등온 결정화에서  $T_c$ 가 증가함에 따라  $n$  값이 감소하는 것은 일반적으로 고분자의 결정화에서 관찰할 수 있는 경향이며,<sup>7</sup>  $T_c$ 가 증가할수록  $n'$ 이 증가하는 것은 높은 온도에서는 결정화 할 수 있는 부분의 양이 작아지므로 primary crystallization과 secondary crystallization이 그 성장기구에 큰 차이를 갖지 않음에 기인하는 것으로 생각된다. 또 PEG-300 unit의 함량

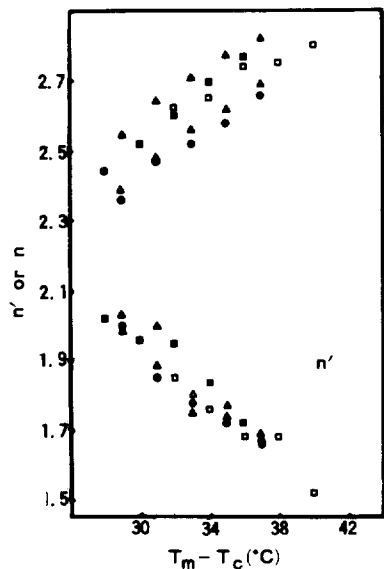


Fig. 4.  $n$  or  $n'$  values versus degree of supercooling in isothermal crystallization of PET / (PEG-300)T containing (●) 0 mol %, ( $\Delta$ ) 1.8 mol %, ( $\square$ ) 4.0 mol %, ( $\blacktriangle$ ) 5.7 mol %, and ( $\blacksquare$ ) 10.5 mol % PEG-300.

이 증가함에 따라 secondary crystallization이 결정화 초기에 나타남을 관찰할 수 있는데 이것은 결정화 할 수 없는 제3의 성분이 도입됨에 따라 primary crystallization에 기여할 수 있는 영역이 감소함에 기인하는 것으로 생각되며 이러한 현상은 공중합체에서 일반적으로 관찰된다.<sup>7,8</sup>

Table 3에 식(5)로 부터  $k_n$ 값을 계산하여  $t_{1/2}$ ,  $n$ ,  $n'$ 값과 함께 나타내었는데,  $T_c$ 가 감소함에 따라  $k_n$ 값이 증가하는 양상을 보이고 있는데 이것은 과냉각 정도가 커 결정화 속도가 커짐에 기인하는 것으로 생각된다.

$$k_n = \ln 2 / t_{1/2}^n, \quad (5)$$

한편 Fig. 4에는 동일한 과냉각 상태에서의 co-

Table 3.  $t_{1/2}$ ,  $k_n$ ,  $n$ , and  $n'$  Values of PET / (PEG-300)T

Sample	$T_c$ (°C)	$t_{1/2}$ (sec)	$k_n$ (sec <sup>-n</sup> )	$n$	$n'$
P-1	229	218	$2.10 \times 10^{-6}$	2.36	2.00
	227	168	$2.21 \times 10^{-6}$	2.47	1.85
	225	140	$2.71 \times 10^{-6}$	2.52	1.78
	223	113	$3.50 \times 10^{-6}$	2.58	1.72
	221	90	$4.39 \times 10^{-6}$	2.66	1.66
P-2	224	181	$2.79 \times 10^{-6}$	2.39	1.98
	222	148	$2.87 \times 10^{-6}$	2.48	1.88
	220	123	$3.10 \times 10^{-6}$	2.56	1.80
	218	102	$3.79 \times 10^{-6}$	2.62	1.74
	216	85	$4.47 \times 10^{-6}$	2.69	1.68
P-3	214	112	$2.96 \times 10^{-6}$	2.62	1.85
	212	93	$4.21 \times 10^{-6}$	2.65	1.76
	210	79	$4.38 \times 10^{-6}$	2.74	1.68
	208	64	$7.48 \times 10^{-6}$	2.75	1.68
	206	55	$9.29 \times 10^{-6}$	2.80	1.52
P-4	212	126	$3.21 \times 10^{-6}$	2.54	2.03
	210	105	$3.20 \times 10^{-6}$	2.64	2.00
	208	92	$3.30 \times 10^{-6}$	2.71	1.75
	206	78	$3.98 \times 10^{-6}$	2.77	1.77
	204	67	$4.91 \times 10^{-6}$	2.82	1.69
P-5	202	145	$3.69 \times 10^{-6}$	2.44	2.02
	200	123	$3.75 \times 10^{-6}$	2.52	1.96
	198	105	$3.85 \times 10^{-6}$	2.60	1.95
	196	88	$3.99 \times 10^{-6}$	2.70	1.84
	194	74	$4.60 \times 10^{-6}$	2.77	1.72

polyester 의  $n$ ,  $n'$  값의 변화를 보기 위해  $n$ ,  $n'$  값을  $T_m$ - $T_c$ 에 대해 도시하였는데  $T_m$ - $T_c$ 가 증가함에 따라  $n$ 은 증가,  $n'$ 은 감소하는 경향을 보이고 있다. 이러한 경향은 과냉각 정도가 클수록 결정화속도가 크며 결정화 할 수 있는 영역이 증가함에 의한 것으로 생각된다. 또, Fig.4 에서 볼 수 있는 바와 같이  $n$ ,  $n'$ 값이 동일 과냉각 상태에서 PEG-300 unit의 함량에 무관하게 거의 같은 경향으로 변화하는 것은 copolyester의 결정 성장기구가 PEG-300 unit의 함량과 무관하게 거의 동일함을 보여 주는 것으로 생각된다.

### 참 고 문 헌

1. O. Sangen, T. Okada, T. Ishii, and Y. Yamamoto, *Kobunshi Ronbunshu*, **36**, 783(1979).
2. D. K. Gilding and A. M. Reed, *Polymer*, **20**, 1454(1979).
3. T. O. Ahn, K. W. Cho, and S. W. Lee, *Polymer (Korea)*, **8**, 415(1984).
4. W. Przygocki, *Acta Polymerica*, **33**, 729(1982).
5. P. C. Vilanova, S. M. Ribas, and G. M. Guzman, *Polymer*, **26**, 423(1985).
6. T. Kashima and K. Etoh, *Kobunshi Ronbunshu*, **38**, 85(1981).
7. E. Martuscelli, M. Pracella, and L. Crispino, *Polymer*, **24**, 693(1983).
8. T. Yu, H. Bu, and J. Chen, *Makromol. Chem.*, **187**, 2697(1986).
9. N. Ueda and Y. Nukushina, *Kobunshi Kagaku*, **23**, 327(1966).
10. T. O. Ahn, K. W. Cho, and S. W. Lee, *Polymer (Korea)*, **6**, 205(1982).
11. E. Martuscelli, F. Riva, C. Sellitti, and C. Silvestre, *Polymer*, **26**, 270(1985).
12. D. Turnbull and J. C. Fisher, *J. Chem. Phys.*, **17**, 71(1949).
13. E. Martuscelli, *Polym. Eng. Sci.*, **24**, 563(1984).
14. M. L. Williams, R. F. Landel, and J. D. Ferry, *J. Amer. Chem. Soc.*, **77**, 3701(1955).
15. N. A. Peppas and P. J. Hansen, *J. Appl. Polym. Sci.*, **27**, 4787(1982).
16. T. O. Ahn, T. W. Hwang, J. H. Kim, and H. M. Jeong, *Polymer (Korea)*, **11**, 361(1987).
17. L. Mandelkern, "Crystallization of Polymer", McGraw-Hill, 1964.